

COMUNE DI NOGARA PROVINCIA DI VERONA



LAVORI DI RIQUALIFICAZIONE FUNZIONALE E MESSA IN SICUREZZA DELL'ASILO NIDO "8 MARZO"

PROGETTO DEFINITIVO ED ESECUTIVO

All. 02/C	RELAZIONI TECNICHE E SPECIALISTICHE INDAGINE GEOFISICA - CARATTERIZZAZIONE SISMICA DEI TERRENI			
Il Prog	gettista		Il R.U.P.	
Arch. Aless	andro Furia			
Data	Revisione		Data	
Giugno 2023				
		·		

Studio Tecnico Arch. Alessandro Furia Via Belvedere, 4d 37064 Povegliano Veronese (VR) Ordine Architetti Verona n. 1641 P.Iva 02660780236 C.F.: FRULSN72R16L949A Tel/Fax 045 6350196 Email: ale.furia@gmail.com pec: a.furia@pec.it



REGIONE VENETO

Provincia di Verona



Indagine geofisica con metodi Re.Mi. e H.V.S.R. per la caratterizzazione sismica dei terreni secondo la normativa vigente (N.T.C. - D.M. 17 gennaio 2018)

Asilo Nido Comunale ''8 Marzo''
Via Palmino Sterzi n.77
Comune di Nogara (VR)

Committente: Dott. Arch. Furia

Data: aprile 2023



STUDIOSISMA SRL SS. PASUBIO 10, GOST/ABISSARA (VI) TEL 0444212962//3490567455 info@studiosisma.com CF/PVA 03/9/510149/SDI USAL8PV



INDICE

1.	PREMESSE	3
2.	CENNI TEORICI E STRUMENTAZIONE UTILIZZATA	5
2.1	Indagine sismica di tipo passivo in array (Re.Mi.)	5
2.2	Indagine sismica di tipo passivo a stazione singola (H.V.S.R.)	7
3.	EVOLUZIONE NORMATIVA E CENNI DI INGEGNERIA SISMICA	8
4.	ANALISI SISMICA DI SITO E DEFINIZIONE CATEGORIA DI SOTTOSUOLO	10
4.1	Risultati ottenuti dalle indagini sismiche effettuate	10
4.2	Indagine sismica passiva in array (Re.Mi.) con inversione congiunta	10
4.3	Indagine sismica passiva a stazione singola (H.V.S.R.)	11
4.4 genna	Categoria di sottosuolo di fondazione secondo le Norme Tecniche sulle Costruzioni - D.M. 17 io 2018	12

ALLEGATI

♣ Indagine sismica Re.Mi. e H.V.S.R.

BIBLIOGRAFIA ESSENZIALE

Responsabile di Progetto	Autori	Collaboratori
M. Collareda	C. di Mango	



PREMESSE

Il giorno 14 aprile 2023 è stata condotta la presente campagna d'indagine geofisica in Via Palmino Sterzi, presso l'Asilo Nido Comunale ''8 Marzo'', nel Comune di Nogara (VR), su incarico del **Dott. Arch. Furia**. Al fine di caratterizzare, dal punto di vista sismico, il sottosuolo dell'area in esame sono state effettuate:

- n°1 prospezione sismica con tecnica passiva Re.Mi. (Refraction Microtremor) sviluppata in array lineare con n°16 geofoni a 4,5 Hz ad asse verticale per la ricostruzione sismo stratigrafica del sottosuolo e per l'assegnazione della Categoria del sottosuolo di fondazione (Vs,eq) come espressamente richiesto dalla normativa vigente (Norme Tecniche sulle Costruzioni D.M. 17/01/2018);
- n°1 registrazione di rumore sismico ambientale a stazione singola con elaborazione H.V.S.R. (Horizontal to Vertical Spectral Ratio) per individuare le frequenze di risonanza del terreno al fine di eseguire una corretta progettazione sismica delle strutture.

Nella figura a seguire viene evidenziata l'area in oggetto di studio (Fig. n°1 - Estratto da Ortofoto).

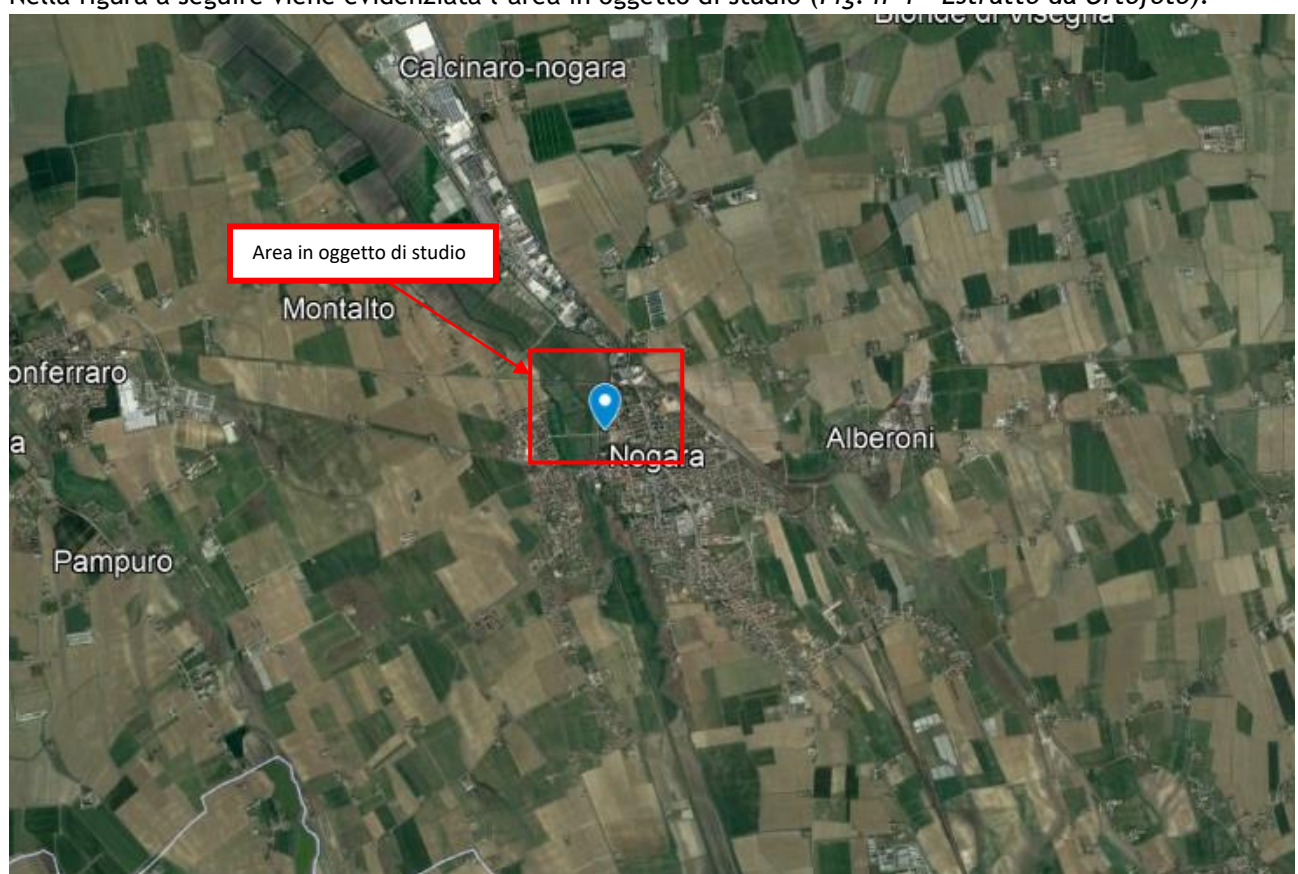


Fig. n°1 - Estratto da Ortofoto

Le coordinate, ottenute mediante un posizionatore GPS posto all'interno della strumentazione sismica, sono specificate nella tabella sottostante secondo il datum WGS 84. Nella figura seguente ($Fig.\ n^2$ - Ubicazione prove in sito) sono invece riportate, in dettaglio, le posizioni di ogni misura effettuata.

Latitudine	Longitudine
45.180573° N (WGS 84)	11.058925° E (WGS 84)









Fig. n°2 - Ubicazione prove in sito

Legenda:

Indagine sismica passiva in array (Re.Mi.)

Indagine sismica passiva a stazione singola (H.V.S.R.)



2. CENNI TEORICI E STRUMENTAZIONE UTILIZZATA

2.1 Indagine sismica di tipo passivo in array (Re.Mi.)

È noto che la propagazione delle onde, nel caso di mezzi stratificati e trasversalmente isotropi, avviene in maniera diversa rispetto al caso di mezzi omogenei; non esiste più un'unica velocità ma ogni frequenza è caratterizzata da una diversa velocità di propagazione a sua volta legata alle varie lunghezze d'onda. Queste interessano il terreno a diverse profondità e risultano influenzate dalle caratteristiche elastiche, appunto variabili con la profondità. Questo comportamento viene definito dispersione in frequenza ed è fondamentale nello sviluppo dei metodi sismici che utilizzano le onde di superficie. Ovviamente le lunghezze d'onda più grandi corrispondono alle frequenze più basse e vanno ad interessare il terreno più in profondità; al contrario, le lunghezze d'onda più piccole, poiché sono associate alle frequenze più alte, rimangono nelle immediate vicinanze della superficie. I metodi di prospezione sismica che utilizzano le onde di superficie si basano su modelli fisico - matematici nei quali il sottosuolo viene schematizzato come una serie di strati con caratteristiche elastiche lineari.

La procedura Re.Mi. è un metodo di prospezione sismica sviluppato presso l'Università di Reno in Nevada (Louie, 2001) e viene classificato come metodo passivo in quanto utilizza il rumore ambientale. I vantaggi promossi da questo metodo sono molteplici: è molto veloce e semplice da usare in fase di acquisizione, raggiunge una buona profondità e risoluzione d'indagine ma soprattutto permette di ottenere migliori risultati in ambienti particolarmente urbanizzati.

La fase di acquisizione deve essere effettuata con una serie di accorgimenti e precauzioni da prendere in sito e nella pianificazione della registrazione. Tutto è finalizzato alla registrazione di dati contenenti la miglior informazione possibile riguardo alla propagazione delle onde di Rayleigh con buon rapporto segnale - rumore.

Il rumore incoerente, cioè di tipo casuale, nel caso Re.Mi. rappresenta la fonte del segnale utile che si vuole registrare. I microtremori generati dall'ambiente si propagano nel suolo e di questi si cerca di distinguere il modo fondamentale di vibrazione dell'onda di Rayleigh da quelli superiori e dall'aliasing spaziale. C'è, in questo caso, la necessità di soddisfare la condizione di "omnidirezionalità" delle sorgenti, cioè si suppone che il rumore ambientale provenga sostanzialmente da tutte le direzioni.

I tempi di registrazione dei microtremori sono decisamente più elevati rispetto alle indagini di tipo attivo. La registrazione sarà analizzata in finestre temporali che variano dai 10 ai 30 secondi.

Sono da considerare la lunghezza dello stendimento L e la distanza intergeofonica Δx . Quest'ultima agisce sul segnale come una specie di filtro in frequenza. Supponendo, infatti, che il segnale arrivi da tutte le direzioni, maggiore è la spaziatura, minore sarà la frequenza del segnale utile campionabile e viceversa. Se la frequenza è più bassa aumenta la profondità d'indagine.

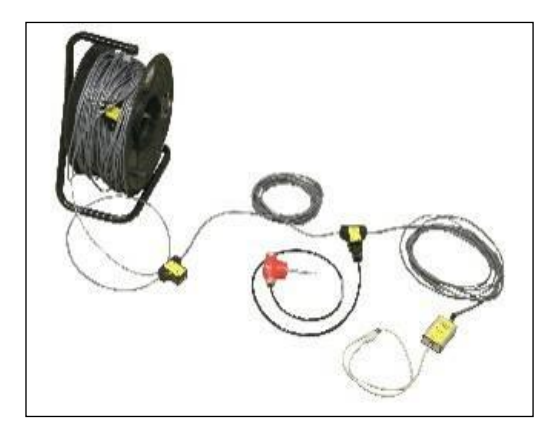
La fase più delicata è quella del *data processing*, che consiste nel trattamento dei dati acquisiti con l'obbiettivo di stimare la velocità di fase delle onde di Rayleigh (Vr) che sono correlabili con le velocità Vs di propagazione delle onde S ($Vs \approx 1,1 \ Vr$).

Le varie tecniche di processing trasformano l'informazione registrata nel dominio x - t (spazio tempo), in un dominio dove l'energia associata all'evento è funzione della frequenza e di altre variabili. Tutto questo allo scopo, attraverso lo spettro, di localizzare la densità di energia maggiore, alla quale sono di solito associate le onde di Rayleigh. Con procedura manuale vengono selezionati dei punti sullo spettro, che andranno a formare la curva di dispersione sperimentale. La scelta di questi valori, denominata *picking*, è condizionata da alcune indicazioni ma è imprescindibile dall'abilità e dall'esperienza dell'interpretatore anche in base ad altre conoscenze in merito al sito in esame.



Il sampling rate utilizzato è stato di 512 Hz in modo da ottenere un elevato dettaglio del segnale. La durata (lunghezza temporale) del segnale registrato è stato di circa 6 minuti. Il software utilizzato per l'analisi spettrale è Grilla v.9.7 release 2021.

Data la necessità di analizzare con elevato dettaglio le basse frequenze (tipicamente anche al di sotto dei 10 Hz), sono stati utilizzati n° 16 geofoni verticali a 4,5 Hz uniti in un *array* lineare totalmente digitale (*SoilSpy Rosina*). Ogni geofono è munito di un digitalizzatore che converte il segnale e lo trasmette al sismografo tramite un'interfaccia USB. Tale sistema permette di avere elevati rapporti di rumore, un perfetto sincronismo e una estrema leggerezza. La spaziatura utilizzata tra i geofoni è stata di 3 m quindi la lunghezza complessiva del profilo è risultata essere di 45 m. Non sono presenti sostanziali variazioni di quota e quindi il sito può essere considerato orizzontale.



Per una corretta ricostruzione sismica del sottosuolo e una buona stima delle onde Vs è necessario adottare una modellizzazione numerica che può essere rappresentata dalla seguente equazione:

$$\hat{\mathcal{O}}_s = \frac{H}{\sum_{i=1}^n \frac{h_i}{\mathcal{O}_i}}$$
 [2.1]

Vs = valore di velocità delle onde di taglio [m/s];

H = profondità alla quale si desidera stimare Vs [m] (30 m in caso di Vs30);

hi = spessore dello strato i - esimo [m];

vi = velocità delle onde Vs all'interno dello strato i - esimo [m/s].

In via puramente indicativa, al fine di correlare le velocità delle onde di taglio ad un tipo di suolo, si riportano i valori tabulati da Borcherdt (1992; 1994) assieme a quelli ottenuti sperimentalmente in diversi ambienti sedimentari da altri autori (Budny, 1984; Ibs von Seht e Wohlenberg, 1999; Delgado et al., 2000 a, b; Parolai et al., 2002; Scherbaum et al., 2003; D'Amico et al., 2004, 2006; Hinzen et al., 2004).

TIPO DI SUOLO	Vs min [m/s]	Vs media [m/s]	Vs max [m/s]
ROCCE MOLTO DURE	1400	1620	-
(es. rocce metamorfiche molto - poco fratturate)			
ROCCE DURE	700	1050	1400
(es. graniti, rocce ignee, conglomerati, arenarie e argilliti, da mediamente a poco fratturate)	700	1030	1400
SUOLI GHIAIOSI e ROCCE DA TENERE A DURE			
(es. rocce sedimentarie ignee tenere, arenarie, argilliti, ghiaie	375	540	700
e suoli con > 20% di ghiaia)			
ARGILLE COMPATTE e SUOLI SABBIOSI - GHIAIOSI			
(es. ghiaie e suoli con < 20% di ghiaia, sabbie da sciolte a	200	290	375
molto compatte, limi e argille sabbiose, argille da medie a	200	270	373
compatte e argille limose)			
TERRENI TENERI			
(es. terreni di riempimento sotto falda, argille da tenere a	100	150	200
molto tenere)			



2.2 Indagine sismica di tipo passivo a stazione singola (H.V.S.R.)

La tecnica sismica passiva (tecnica dei rapporti spettrali o H.V.S.R., Horizontal to Vertical Spectral Ratio) è totalmente non invasiva, molto rapida, si può applicare ovunque e non richiede nessun tipo di perforazione, né di stendimenti di cavi, né di energizzazione esterne diverse dal rumore ambientale che in natura esiste ovunque. I risultati che si possono ottenere da una registrazione di questo tipo sono:

- la <u>frequenza caratteristica di risonanza del sito</u> che rappresenta un parametro fondamentale per il corretto dimensionamento degli edifici in termini di risposta sismica locale. Si dovranno adottare adeguate precauzioni nel costruire edifici aventi la stessa frequenza di vibrazione del terreno per evitare l'effetto di "doppia risonanza" estremamente pericolosi per la stabilità degli stessi;
- la <u>frequenza fondamentale di risonanza di un edificio</u>, qualora la misura venga effettuata all'interno dello stesso. In seguito sarà possibile confrontarla con quella caratteristica del sito (*free field*) e capire se in caso di sisma la struttura potrà essere o meno a rischio;
- la <u>velocità media delle onde di taglio Vs</u> calcolata tramite un apposito codice di calcolo. È necessario, per l'affidabilità del risultato, conoscere la profondità di un riflettore noto dalla stratigrafia (prova penetrometrica, sondaggio, ecc.) e riconoscibile nella curva H/V. Sarà quindi possibile calcolare la Vs,eq e la relativa categoria di sottosuolo come esplicitamente richiesto dalle *Norme Tecniche per le Costruzioni del 17 gennaio 2018*;
- la <u>stratigrafia del sottosuolo</u> con un *range* di indagine compreso tra 0,5 e 700 m di profondità anche se il dettaglio maggiore si ha nei primi 100 metri. Il principio su cui si basa la presente tecnica, in termini di stratigrafia del sottosuolo, è rappresentato dalla definizione di strato inteso come unità distinta da quelle sopra e sottostante per un contrasto d'impedenza, ossia per il rapporto tra i prodotti di velocità delle onde sismiche nel mezzo e densità del mezzo stesso.

Le basi teoriche della tecnica HVSR si rifanno in parte alla sismica tradizionale (riflessione, rifrazione, diffrazione) e in parte alla teoria dei microtremori. La forma di un'onda registrata in un sito x da uno strumento dipende:

- dalla forma dell'onda prodotta dalla sorgente s;
- dal percorso dell'onda dalla sorgente s al sito x (attenuazioni, riflessioni, rifrazioni, incanalamenti per guide d'onda);
- dalla risposta dello strumento.

Possiamo scrivere questo come:

segnale registrazione al sito x = sorgente * effetti di percorso * funzione trasferimento strumento

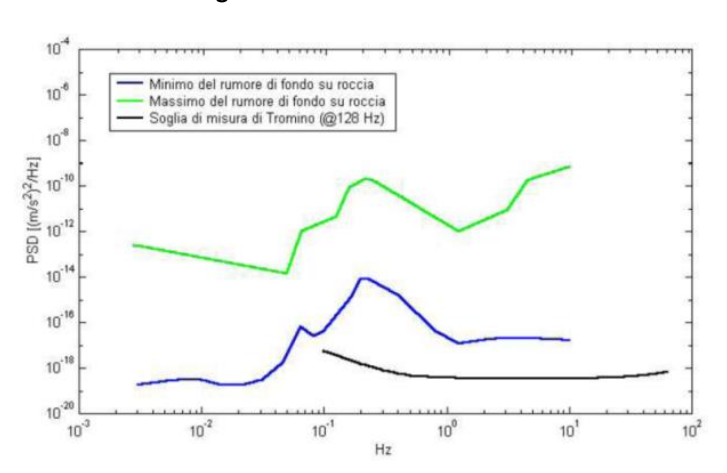
Il rumore sismico ambientale, presente ovunque sulla superficie terrestre, è generato dai fenomeni atmosferici (onde oceaniche, vento) e dall'attività antropica oltre che, ovviamente, dall'attività dinamica terrestre. Si chiama anche *microtremore* poiché riguarda oscillazioni molto piccole, molto più piccole di quelle indotte dai terremoti. I metodi che si basano sulla sua acquisizione si dicono passivi poiché il rumore non è generato *ad hoc*, come ad esempio le esplosioni della sismica attiva. Nel tragitto dalla sorgente *s* al sito *x* le onde elastiche (sia di terremoto che microtremore) subiscono riflessioni, rifrazioni, intrappolamenti per fenomeni di guida d'onda, attenuazioni che dipendono dalla natura del sottosuolo attraversato. Questo significa che se da un lato l'informazione riguardante la sorgente è persa e non sono più applicabili le tecniche della sismica classica, è presente comunque una parte debolmente correlata nel segnale che può essere estratta e che contiene le informazioni concernenti il percorso del segnale e, in particolare, relative alla struttura locale vicino al sensore. Dunque, anche il debole rumore sismico, che tradizionalmente costituisce la parte di segnale scartata dalla sismologia classica, contiene informazioni. Questa informazione è però "sepolta" all'interno del rumore casuale e può essere estratta attraverso tecniche opportune. Una di queste tecniche è la teoria dei rapporti spettrali o, semplicemente, HVSR che



è in grado di fornire stime affidabili delle frequenze principali del sottosuolo; informazione di notevole importanza nell'ingegneria sismica.

Per l'acquisizione dei dati è stato utilizzato un tromometro digitale della ditta Moho S.r.l. modello

"Tromino ENGY-PLUS" che rappresenta la nuova generazione di strumenti ultra - leggeri e ultra - compatti in alta risoluzione adatti a tali misurazioni. Lo strumento racchiude al suo interno una terna velocimetrica con i sensori ortogonali tra loro e con intervallo di frequenza compreso tra 0.1 e 256 Hz. Nella figura a fianco si riporta la curva di rumore di "Tromino" a confronto con i modelli standard di rumore sismico massimo (in verde) e minimo (in blu) per la Terra. Gli spettri di potenza sono espressi in termini di accelerazione e sono relativi alla componente verticale del moto.



3. EVOLUZIONE NORMATIVA E CENNI DI INGEGNERIA SISMICA

La storia della classificazione sismica Italiana comincia dopo il terribile terremoto di Reggio Calabria e Messina del 1908 (XI grado MCS) che provocò la morte di circa 80.000 persone. In seguito a questo evento ci fu un deciso impegno dello Stato a tradurre in legge le conoscenze scientifiche e tecniche sulle costruzioni sino ad allora maturate. Fu così emanato il Regio decreto n°193 [1909] nel quale è contenuta la prima classificazione sismica del territorio Italiano. Negli anni a seguire si continuò ad aggiornare la normativa tecnica ampliando la classificazione in base alle zone colpite da eventi sismici. Nel 1962 fu pubblicata la Legge n°1684, in seguito ai terremoti di Carnia (1956), Valle del Velino (1961) e Irpinia (1962) dove, per la prima volta, si prescrisse l'applicazione delle norme sismiche ai comuni "soggetti a intensi movimenti sismici" e non solo a quelli colpiti dal terremoto. In seguito ai terremoti dei Monti Nebroli (1967), della Valle del Belice (1968) e di Tuscania (1971), fu emanata la Legge n°64 [1974], che costituisce una pietra miliare nel panorama della normativa sismica poiché stabilì che la classificazione sismica dovesse procedere sulla base di comprovate motivazioni tecniche scientifiche.

La promulgazione dell'Ordinanza P.C.M. n° 3274 del 20/3/2003 e successive modifiche ed integrazioni ha determinato sul panorama nazionale un grande rinnovamento sul fronte della normativa tecnica in zona sismica, rappresentata fino ad allora dai contenuti del D.M. 16 gennaio 1996. La principale novità introdotta dall'O.P.C.M. n° 3274 è l'abbandono del carattere puramente prescrittivo e convenzionale che caratterizzava le norme tecniche di vecchia concezione, come il D.M. 16/01/1996, per abbracciare un'impostazione puramente prestazionale, in cui gli obiettivi della progettazione e quindi il livello di sicurezza sono esplicitamente dichiarati, a seconda della risposta sismica attesa per la struttura e il sito di costruzione, per un prefissato livello di severità dell'azione sismica.

Le attuali norme tecniche per le costruzioni (N.T.C. D.M. - 17 gennaio 2018) ereditano gran parte dei contenuti dell'O.P.C.M. n°3274 in merito alla progettazione in zone sismiche; tuttavia rispetto a quest'ultimo documento sono anche stati apportati importanti cambiamenti, di cui forse il più rilevante riguarda la definizione dell'azione sismica.

Per comprendere pienamente il significato della nuova normativa è necessario rifarsi al concetto di risposta sismica locale. Dal punto di vista strettamente fisico, per effetto di sito (risposta sismica locale) s'intende l'insieme delle modifiche in ampiezza, durata e contenuto in frequenza che un moto sismico, relativo ad una formazione rocciosa di base (R), subisce attraversando gli strati di terreno sovrastanti fino alla superficie (S). Nel presente lavoro si sfrutterà la teoria di Nakamura che relaziona lo spettro di



risposta del substrato roccioso (rapporto spettrale H / V = 1) con quello effettivamente misurato in superficie.

Il moto sismico è amplificato in corrispondenza di determinate frequenze che corrispondono alle frequenze naturali *fn* di vibrazione del deposito:

$$fn = 1 / Tn = (Vs*(2n - 1)) / (4*H) con n = 1, 2,,$$
 [3.1]

mentre risulta ridotto di amplificazione alle frequenze elevate a causa dello smorzamento del terreno. Di particolare importanza è la prima frequenza naturale di vibrazione del deposito denominata <u>frequenza</u> fondamentale di risonanza:

$$f1 = 1 / T1 = Vs / 4H$$
 [3.2]

E' quindi necessario porre estrema attenzione a fenomeni di "doppia risonanza", cioè la corrispondenza tra le frequenze fondamentali del segnale sismico così come trasmesso in superficie e quelle dei manufatti ivi edificati in quanto le azioni sismiche su di essi sarebbero gravose.

Dal punto di vista empirico, è noto che la frequenza di risonanza di un edificio è governata principalmente dall'altezza e può essere pertanto calcolata, in prima approssimazione, secondo la formula (cfr. Es. Pratt):

E' la coincidenza di risonanza tra terreno e struttura:

freq. naturale edificio
$$\approx$$
 freq. fondamentale di risonanza del sito [3.4]

ad essere particolarmente pericolosa, poiché da luogo alla massima amplificazione e deve quindi essere oggetto di studi approfonditi.

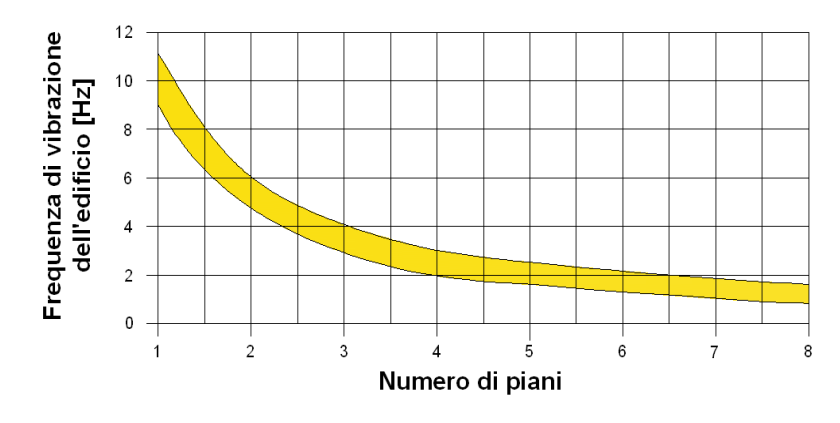


Figura - Frequenza di vibrazione degli edifici rapportata al numero di piani.



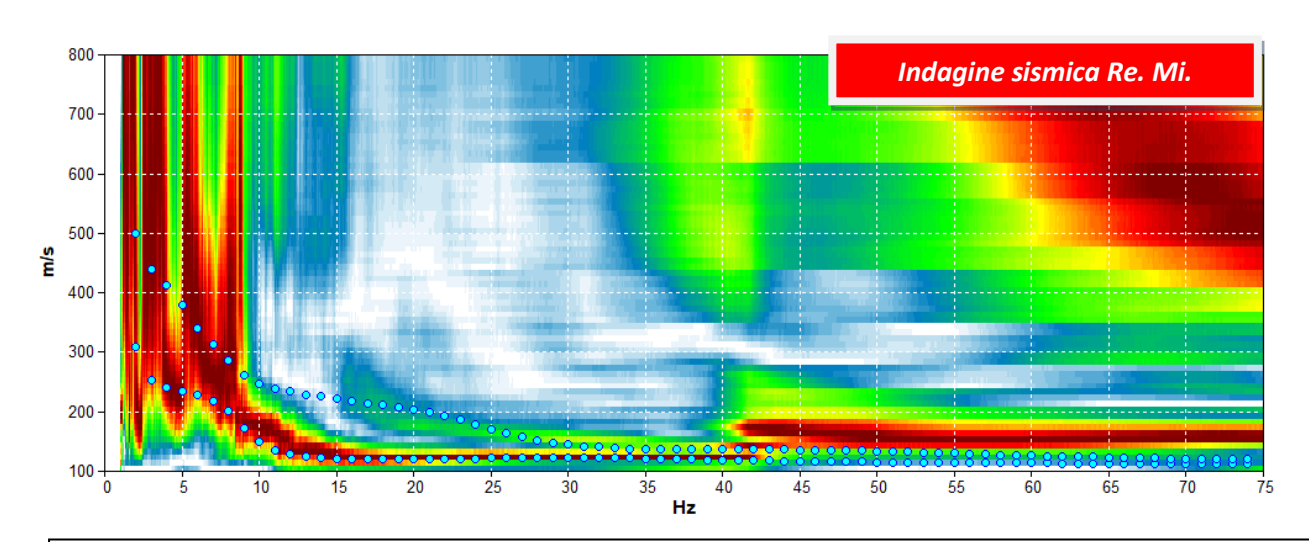
4. ANALISI SISMICA DI SITO E DEFINIZIONE CATEGORIA DI SOTTOSUOLO

4.1 Risultati ottenuti dalle indagini sismiche effettuate

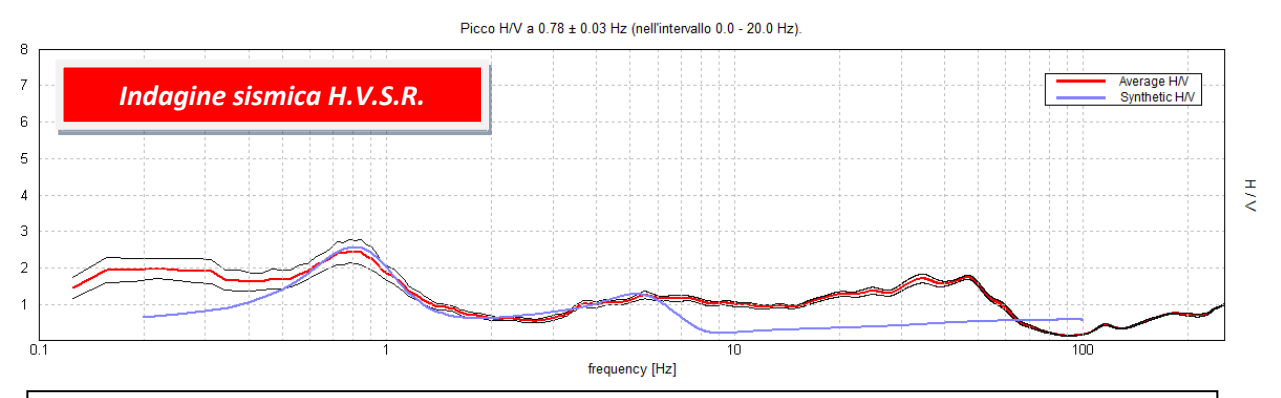
L'utilizzo incrociato delle due tecniche sismiche ha permesso di ottenere un modello sismo - stratigrafico del sottosuolo robusto e affidabile in corrispondenza della zona d'interesse. L'indagine Re.Mi. ha individuato le discontinuità sismiche superficiali e stimato le velocità di propagazione delle onde S mentre la prospezione passiva a stazione singola (H.V.S.R.), ha stimato il grado di rigidità della copertura profonda. Inoltre, la misura H.V.S.R. ha determinato le frequenze di risonanza di sito cioè i valori di frequenza attesi in superficie in occasione di evento sismico.

L'attendibilità del modello sismo-stratigrafico desunto è da considerarsi elevata poiché la coerenza del segnale è buona e lo spettro di velocità è ben definito nel modo fondamentale per quasi tutte le frequenze campionate. Il programma di elaborazione utilizzato permette di considerare non solo il modo fondamentale ma, una volta individuati, anche i modi superiori per vincolare con maggior attendibilità la ricostruzione sismo-stratigrafica del sottosuolo.

4.2 Indagine sismica passiva in array (Re.Mi.) con inversione congiunta



Spettro di velocità: il modo fondamentale è presente in tutte le frequenze campionate. Il segnale si presenta con una buona coerenza. In blu la curva sintetica creata da una modellizzazione diretta delle onde S.



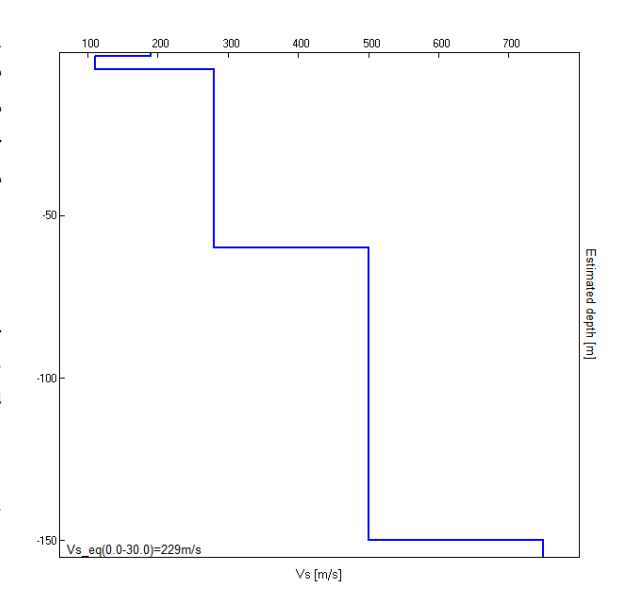
La curva spettrale rossa rappresenta l'andamento sismico registrato in campagna mentre quella blu è la curva sintetica generata dal codice di calcolo



La ricostruzione sismo-stratigrafica di sito ha evidenziato la presenza di un materiale mediamente addensato fino a circa 1,0 m dal p.c. locale caratterizzato da Vs di circa 190 m/s, mentre per valori di profondità maggiori il grado di rigidità subisce un decremento con le Vs che diminuiscono a valori di circa 110 m/s.

Un incremento di rigidità si registra da circa 5 m dal p.c. locale, con le Vs che raggiungono valori di circa 280 m/s, per poi aumentare a circa 500 m/s alla profondità di circa 60 m dal p.c. locale.

L'ultimo sismo-strato è stato riconosciuto ad una profondità di circa 150 m dal p.c. locale con valori di Vs di ≈ 750 m/s.



Il rilievo nello specifico ha fornito i seguenti dati sismici (modello sismo - stratigrafico interpretativo):

Indagine sismica Re. Mi. con inversione congiunta H.V.S.R.	Velocità onde di taglio [m/s]	Spessori [m]	Profondità [m]
I SISMOSTRATO	190	1	0,0 - 1,0
II SISMOSTRATO	110	4	1,0 - 5,0
III SISMOSTRATO	280	55	5,0 - ≈60
IV SISMOSTRATO	500	90	≈60 - ≈150
V SISMOSTRATO	750	Semisp.	≈150 - Semisp.

4.3 Indagine sismica passiva a stazione singola (H.V.S.R.)

Nel caso specifico del sito in esame si è cercato di correlare i valori di picco, dello spettro di risposta HVSR, con le frequenze fondamentali di risonanza di sito.

Interpretando i minimi della componente verticale come risonanza del modo fondamentale dell'onda di Rayleigh e i picchi delle componenti orizzontali come contributo delle onde SH, si sono potute ricavare le frequenze relative ad ogni discontinuità sismica.

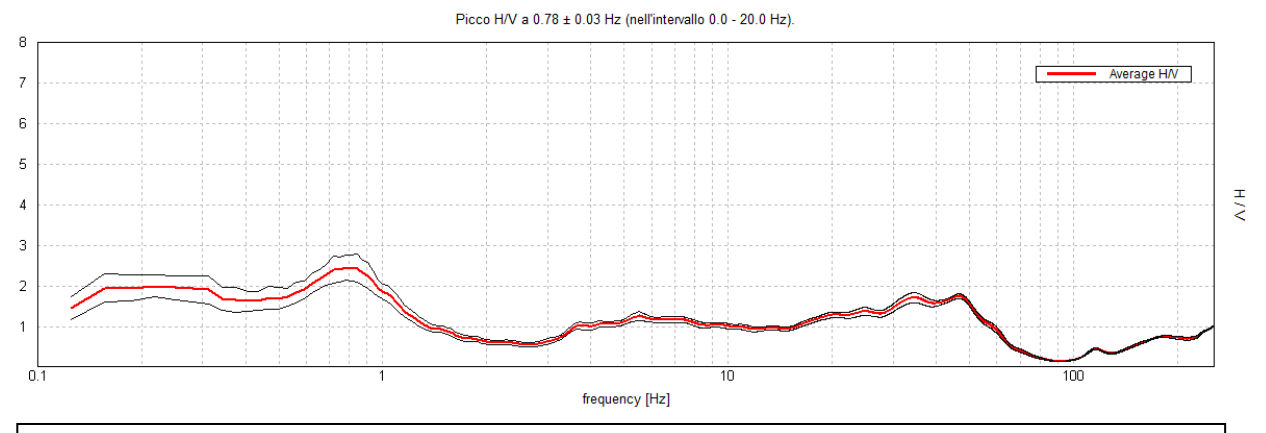
La frequenza fondamentale di risonanza di sito, generata dalla discontinuità sismica a più elevato rapporto spettrale ($H/V\approx2.5$) nell'intervallo di interesse ingegneristico-strutturale (0.0 - 20.0 Hz), è di circa 0.8 Hz.

Frequenza fondamentale di risonanza		
0.78 ± 0.03 Hz		

È ormai consolidata, sia a livello accademico sia professionale, l'ipotesi che le strutture subiscono le sollecitazioni sismiche maggiori quando c'è coincidenza tra la frequenza di vibrazione naturale del terreno investito da un'onda sismica e quella naturale dell'edificio.



Si dovrà quindi porre estrema attenzione nell'edificare strutture aventi lo stesso periodo di vibrazione naturale del terreno. <u>Nel caso specifico il rapporto H/V calcolato è tale da ipotizzare un fattore di</u> amplificazione del moto sismico in superficie.



Rapporto spettrale H/V misurato. In rosso è indicato l'HV medio mentre in nero l'intervallo di confidenza al 95%.

4.4 Categoria di sottosuolo di fondazione secondo le Norme Tecniche sulle Costruzioni - D.M. 17 gennaio 2018

Ai fini della definizione dell'azione sismica di progetto, si rende necessario valutare l'effetto della risposta sismica locale mediante specifiche analisi o in rapporto ad un approccio semplificato che si basa sull'individuazione di Categorie di Sottosuolo di riferimento.

Per definire le Categorie, il D.M. 17 gennaio 2018 prevede il calcolo del parametro Vs,eq, ovvero della velocità equivalente di propagazione delle onde di taglio Vs dei terreni posti al di sopra del substrato di riferimento (Vs,30 per depositi con profondità del substrato superiore a 30 m). La profondità del substrato è riferita al piano di posa delle fondazioni superficiali, alla testa dei pali per fondazioni indirette, al piano di imposta delle fondazioni per muri di sostegno di terrapieni o alla testa delle opere di sostegno di terreni naturali.

Tab. 3.2.II - Categorie di sottosuolo che permettono l'utilizzo dell'approccio semplificato.

Categoria	Caratteristiche della superficie topografica
	Ammassi rocciosi affioranti o terreni molto rigidi caratterizzati da valori di velocità delle onde
A	di taglio superiori a 800 m/s, eventualmente comprendenti in superficie terreni di caratteri-
	stiche meccaniche più scadenti con spessore massimo pari a 3 m.
	Rocce tenere e depositi di terreni a grana grossa molto addensati o terreni a grana fina molto consi-
В	stenti, caratterizzati da un miglioramento delle proprietà meccaniche con la profondità e da
	valori di velocità equivalente compresi tra 360 m/s e 800 m/s.
	Depositi di terreni a grana grossa mediamente addensati o terreni a grana fina mediamente consi-
C	stenti con profondità del substrato superiori a 30 m, caratterizzati da un miglioramento del-
C	le proprietà meccaniche con la profondità e da valori di velocità equivalente compresi tra
	180 m/s e 360 m/s.
	Depositi di terreni a grana grossa scarsamente addensati o di terreni a grana fina scarsamente consi-
D	stenti, con profondità del substrato superiori a 30 m, caratterizzati da un miglioramento del-
D	le proprietà meccaniche con la profondità e da valori di velocità equivalente compresi tra
	100 e 180 m/s.
Е	Terreni con caratteristiche e valori di velocità equivalente riconducibili a quelle definite per le catego-
E	rie C o D, con profondità del substrato non superiore a 30 m.



Dall'assetto sismo-stratigrafico desunto dalle indagini sismiche effettuate, è possibile constatare la presenza del *bedrock* geofisico (substrato di riferimento) a profondità superiori a 30 m.

Pertanto, come espressamente richiesto dalla normativa vigente (Norme Tecniche sulle Costruzioni - D.M. 17/01/2018), si è calcolata la velocità media di propagazione delle onde di taglio fino a 30 m dal piano di posa delle fondazioni (Vs,30), a partire da varie profondità dal piano campagna:

Profondità piano di posa delle fondazioni	Vs,30	
0 m dal p.c.	Vs (0 - 30) ≈ 229 m/s	
1 m dal p.c.	Vs (1 - 31) ≈ 232 m/s	
2 m dal p.c.	Vs (2 - 32) ≈ 243 m/s	
3 m dal p.c.	Vs (3 - 33) ≈ 254 m/s	

Dalla ricostruzione del quadro geofisico emerso dal presente studio e dalle indicazioni normative si prevede l'inserimento del sito d'indagine nelle Categorie di Sottosuolo denominata C, così definita:

Categoria C - Depositi di terreni a grana grossa mediamente addensati o terreni a grana fina mediamente consistenti con profondità del substrato superiori a 30 m, caratterizzati da un miglioramento delle proprietà meccaniche con la profondità e da valori di velocità equivalente compresi tra 180 m/s e 360 m/s.

Si ricorda che qualunque tecnica di geofisica applicata ha un margine di errore intrinseco variabile in funzione del tipo di tecnica usata, di strumentazione utilizzata e di problematiche incontrate durante la fase di acquisizione. Infine, i profili di Vs ricavati con questa metodologia, come tutti i metodi indiretti, non presentano una soluzione univoca e quindi più modelli possono fornire curve sintetiche simili tra loro.

Costabissara, aprile 2023

SS. PASUBIO 10, QOSTABISSARA (VI) TEL 04442/2962/3490567455 info@studiosisma.com CF/PIVA 03/9/510149/SDI USAL8PV

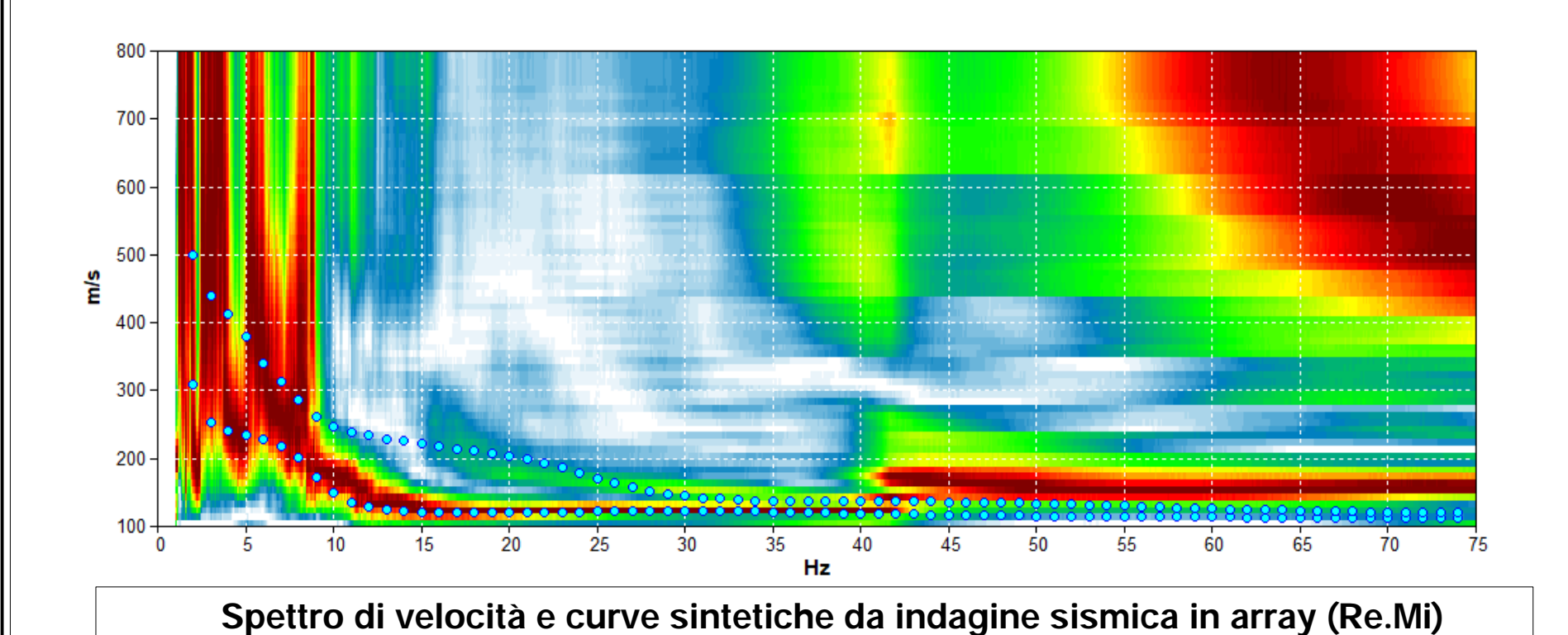


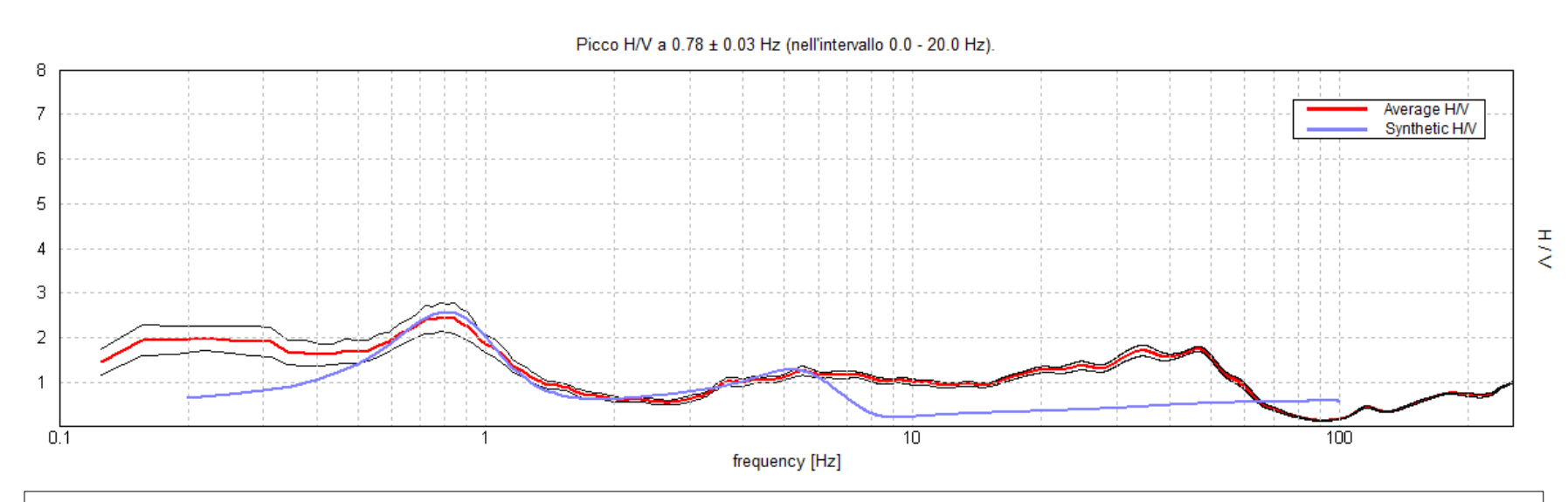
ALLEGATO

♣ Indagine sismica Re.Mi. e H.V.S.R.

BIBLIOGRAFIA ESSENZIALE

- ✓ Aki K., 1964. A note on the use of microseisms in determining the shallow structures of the earth's crust, *Geophysics*, 29, p. 665 666.
- ✓ Arai H. e Tokimatsu K., 2004. S-Wave Velocity Profiling by Inversion of Microtremor H/V Spectrum, Bull. Seismol. Soc. Am., 94, p. 53 63.
- ✓ Castellaro S., Mulargia F. Bianconi L., 2005. Stratigrafia sismica passiva: una nuova tecnica accurata, rapida ed economica, *Geologia Tecnica Regionale*, vol. 3.
- ✓ D'Amico V., Picozzi M., Albarello D., Naso G. e Tropenscovino S., 2004. Quick estimates of soft sediments thicknesses from ambient noise horizontal to vertical spectral ratios: a case study in southern Italy, *J. Eartq. Eng.*, 8, p. 895 908.
- ✓ Dal Moro G.,2008b, Rapporto sulla campagna Vs30 in Friuli Venezia Giulia, Dipartimento di Scienze Geologiche Ambientali e Marine, Università di Trieste.
- ✓ Dal Moro G & Pipan M., 2007, Joint Inversion of Surface Wave Dispersion Curve and Reflection Travel Times via Multi-Objective Evolutionary Algorithms, J. Appl. Geophysics, 61, 56-81.
- ✓ Gallipoli R., La Penna V., Lorenzo P. et al., 2000. Comparison of geological and geophysical prospecting techniques in the study of a landslide in southern Italy, *European J. Environm. and Eng. Geophys.*, 4, p. 117 128
- ✓ Ibs-von Seht M. e Wohlenberg J., 1999. Microtremor measurements used to map thickness of soft sediments, Bull. Seismol. Soc. America, 89, p. 250 - 290.
- ✓ Ivanov, J., Miller, R.D., Xia, J., Steeples, D., and Parck, C.B., 2006, Joint Analysis of Refractions with Surface Waves. An Inverse Refraction-Traveltime Solution: Geophysics, 71, R131-R138.
- ✓ Mucciarelli M. e Gallipoli M.R., 2001. A critical review of 10 Years of microtremor HVSR technique, Bollettino di Geofisica Teorica ed Applicata, 42, P. 255 266.
- ✓ Mucciarelli M. e Gallipoli M.R., 2006. Comparison between Vs30 and other estimates of site amplification in Italy, *Conf. Eartq. Eng. And Seismol.*, Ginevra, 3-8 Sept. no 270.
- ✓ Mulargia F., Castellaro S., Rossi P.L., 2007. Effetti di sito e Vs30: una risposta alla normativa antisismica", Il geologo Ordine dei Geologi Regione Emilia Romagna.
- ✓ Nakamura Y., 1989. A method for dynamic characteristics estimates of subsurface using microtremor on the round surface, *QR of RTRI*, 30, p. 25 30.
- ✓ Roth M. & Holliger K- 1999. Inversion of Sourcegenerated noise in high-resolution seismic data. The Leading Edge, 18, 1402-1406.
- ✓ SESAME Project: "Site Effects Assessment Using Ambient Excitations", 2005.

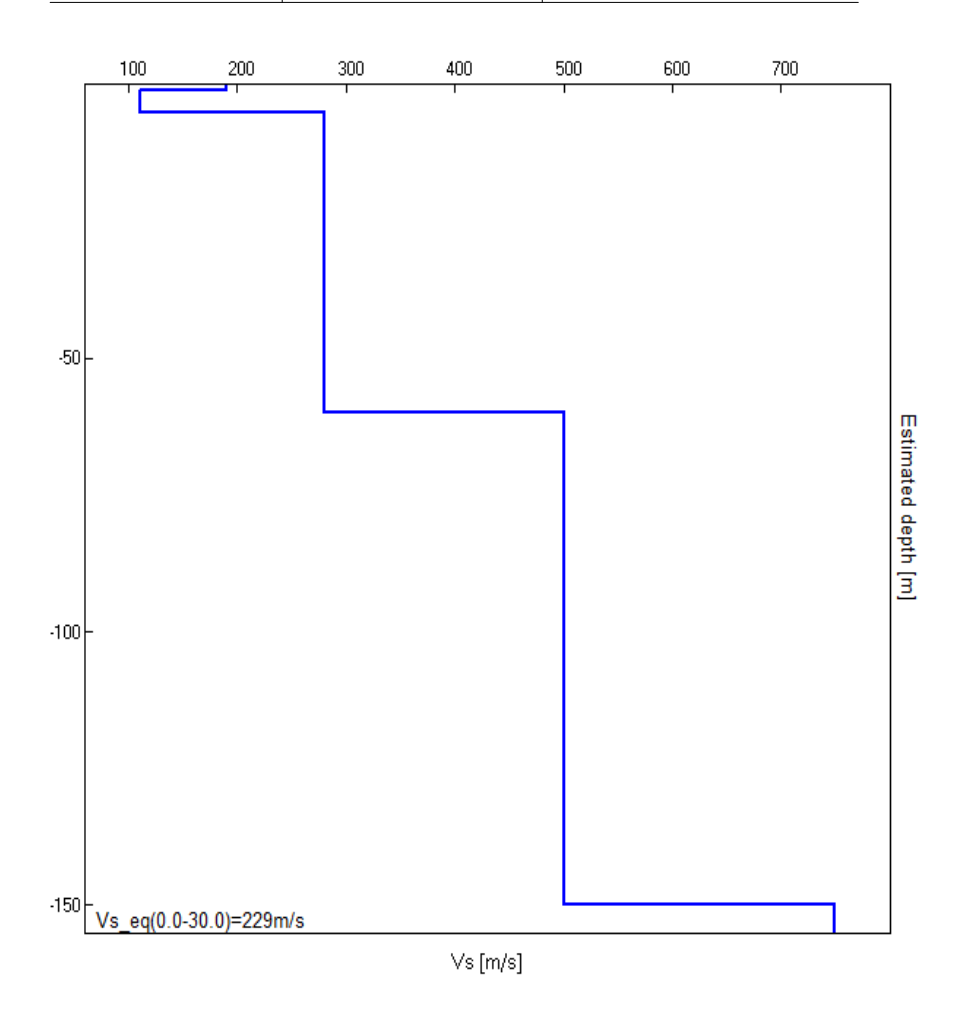




Spettro sismico a curva sintetica da misura a stazione singola (H.V.S.R.)

Profondità piano di posa e Vs,30 calcolati

0 m dal p.c.	229 m/s	Categoria C
1 m dal p.c.	232 m/s	Categoria C
2 m dal p.c.	243 m/s	Categoria C
3 m dal p.c.	254 m/s	Categoria C



Profilo Verticale onde S (Vs)

Modello sismo-stratigrafico interpretativo

Indagine sismica Re. Mi. con inversione congiunta H.V.S.R.	Velocità onde di taglio [m/s]	Spessori [m]	Profondità [m]	
I SISMOSTRATO	190	1	0,0 - 1,0	
II SISMOSTRATO	110	4	1,0 - 5,0	
III SISMOSTRATO	280	55	5,0 - ≈60	
IV SISMOSTRATO	500	90	≈60 - ≈150	
V SISMOSTRATO	750	Semisp.	≈150 - Semisp.	



INDAGINE GEOFISICA

Asilo Nido "8 Marzo" - Comune di Nogara (VR)

Lat:45.180573°N - Lon: 11.058925°E (WGS84)

Committente: Dott. Arch. Furia

Indagine sismica Re.Mi.+H.V.S.R.

Aprile 2023